

# Modèles de surfaces hyperboliques aléatoires

- Modèle de revêtement aléatoire:

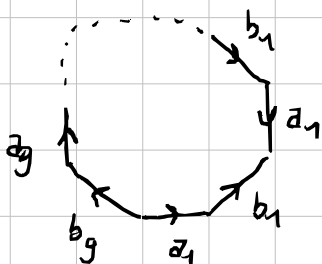
On se donne une surface de genre  $g$  munie d'une métrique hyperbolique

$\text{Hom}(\pi_1(S^g), \mathbb{G}_N)$  morphismes du groupe fondamental dans le groupe symétrique

$S^g$  à  $g$  anses:



On peut la découper avec  $2g$  lacets  $a_1, b_1, \dots, a_g, b_g$  pour former un  $4g$ -gone



$$\sim \prod_{i=1}^g [a_i, b_i] = 1$$

$$\text{on } [a_i, b_i] = a_i b_i a_i^{-1} b_i^{-1}$$

$$\rightarrow \text{présentation de } \pi_1(S^g) = \langle a_i, b_i, i=1, \dots, g \mid \prod_{i=1}^g [a_i, b_i] = 1 \rangle$$

$\text{Hom}(\pi_1(S^g), \mathfrak{S}_N) = \{ (\sigma_i, \tau_i) \mid i=1, \dots, g :$

$$\prod_{i=1}^g [\sigma_i, \tau_i] = 1 \}$$
 Ensemble fini.

Formule pour le cardinal: (Hurwitz 1902)

$$|\text{Hom}(\pi_1(S^g), G)| = |G|^{2g-1} \zeta^G(2g-1)$$

$$\zeta^G(s) = \sum_{x \in \text{Irr}(G)} d(x)^{-s}$$

dimension de la représentation irréductible

$\rho \in \text{Hom}(\pi_1(S^g), \mathfrak{S}_N) \mapsto S_{\rho, N}$  revêtement fini de  $S$  associé à  $\rho$ .

$\rho$  choisi uniformément  $\hookrightarrow S_{\rho, N}$  revêtement aléatoire uniforme.

On part du revêtement universel  $\tilde{S} \cong \mathbb{H}^2$

$$\tilde{S} \times \{1, \dots, N\} / \sim_p =: S_{\rho, N}$$

action de  $\pi^1$  sur  $\tilde{S}$

$\tilde{x} \sim_p \tilde{y} \iff \exists \gamma \in \pi_1(S) \text{ tel que } \gamma \cdot \tilde{x} = \tilde{y}$   
 et  $\rho(\gamma) \cdot i = j$

$S_{p,N}[(\tilde{x}, i)]$   
 ↓      ↓  
 } on a bien un revêtement!

$S$   
 [ $\tilde{x}$ ]  
 "  
 $\tilde{S}/\pi_n(S)$

Thm (Magee-Naud-Puder 2022)

$S_{p,N}$     $\lambda_i^{\text{old}} \in \text{sp}(\Delta_{S_{p,N}})$    et    $\lambda_{p,N}^{\text{new}}$  les nouvelles  
 ↓      ↑  
 valeurs propres de  $\Delta_{S_{p,N}}$   
 $S$     $\lambda_i$  rp de  $\Delta_S$

$$\forall \varepsilon > 0, \quad \mathbb{P}_N \left( \lambda_i^{\text{new}}(S_{p,N}) > \frac{3}{16} - \varepsilon \right) \xrightarrow[N \rightarrow \infty]{} 1$$

(ouvert pour  $\frac{1}{4}$ )

## Thm (Müller-Hilde 2021)

$S$  surface hyperbolique à cusps ( $=$  pas compacte, de volume fini)

$\text{Ind } \pi_1(S) \approx \text{groupe } \underline{\text{libre}} \quad (= + \text{facile})$

$$\mathbb{P}_N \left( \text{Spec}(\Delta_{S_{p,N}}) \cap [0, \frac{1}{4} - \varepsilon] = \text{Spec}(\Delta_S) \cap [0, \frac{1}{4} - \varepsilon] \right) \xrightarrow[N \rightarrow \infty]{} 1$$

⚠ ici  $\Delta_S$  a un spectre continu dans  $[1_4, +\infty[$ .

Corollaire 1: existence d'une suite de surfaces à cusps  $S_n$

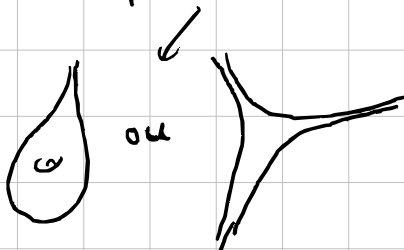
$$\text{avec } \lambda_n \geq \frac{1}{4} - o(1)$$

↳

quotient de Rayleigh

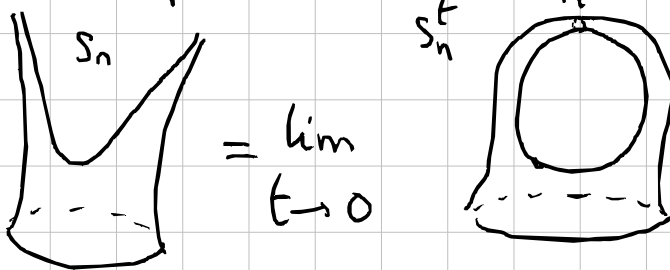
prouver: partir de  $S$  pour laquelle  $\lambda_1(S) \geq 1$

(c'est le cas pour  $S$  de  $\pi(S) = \mathbb{H}^2$ , cf otal-Rosas)



Corollaire: existence d'une suite  $(S_n)$  de surfaces compactes, de genre  $g_n \rightarrow \infty$  avec  $\lambda_1(S_n) \geq \frac{1}{4} - o(1)$

Premre: "procédé de compactification" Buser-Burger-Dodziuk  
(marque pour  $S$  avec un nb pair de cusps)



et on montre que  $\liminf_{t \rightarrow 0} \lambda_1(S_n^t) \geq \lambda_1(S_n)$

Remarque: si  $\rho, \sigma \in \text{Hom}(\pi_1(S), G_N)$  vérifient

$$\exists \tau \in \mathcal{B}_N : \rho(\gamma) = \tau^{-1} \sigma(\gamma) \tau \quad \forall \gamma \in \pi_1(S)$$

alors  $S_{\rho, N} \cong S_{\sigma(N)}$  ) on pourrait vouloir plutôt considérer  $\text{Hom}(\pi_1(S), \mathcal{B}_N) / \tilde{G}_N$   
 $[\tilde{x}, i] \longrightarrow [\tilde{x}, \tau(i)]$  automorphismes intérieurs

## "Modèle de Weil-Peterson"

$S^g$  = compacte orientée de genre  $g$   
( $g \geq 2$ )

Espace de Teichmüller : "espace des structures de surfaces de Riemann sur  $S^g$ "

→ par thm d'uniformisation  $\exists$  unique métrique hyperbolique dans chaque classe conforme.

Donc ici, "espace des métriques hyperboliques sur  $S^g$ "  
 m<sup>g</sup>étriques riemanniennes de  
 courbure -1

surface de Riemann marquée : couple  $(R, f)$  où

- $R$  surface de Riemann
- $f: S^g \rightarrow R$  difféo qui préserve l'orientation

( $S^g$  est donc fixée et surt de surface de référence)

Relation d'équivalence  $(R, f) \sim (R', f')$  si  $\exists h: R \rightarrow R'$   
 biholomorphisme tel que

$$\begin{array}{ccc} & f & \\ S^g & \xrightarrow{\quad} & R \\ & \downarrow sh & \\ & f' & \searrow \\ & & R' \end{array}$$

$f'^{-1} \circ h \circ f: S^g \rightarrow S^g$  est isotope  
 à l'identité.

Espace de Teichmüller  $\mathcal{T}(S^g) = \{(R, f)\} / \sim$

Def:  $(R, f) \approx (R', f')$  si  $\exists h$  biholomorphisme tq

$f'^{-1} \circ h \circ f$  est un difféo de  $S^g$  (préservant l'orientation)

Def:  $\mathcal{M}(S^g) = \{(R, f)\} / \sim$  espace des modules.

Ainsi,  $\mathcal{M}(S^g) = \mathcal{T}(S^g) / \text{MCG}^+(S^g)$

où  $\text{MCG}^+(S^g) = \overbrace{\text{Diff}^+(S^g)}^{\text{difféos isotopes à l'identité.}} / \text{Diff}_0(S^g)$

Remarque:  $\mathcal{T}(S^g) \hookrightarrow \text{Hom}(\pi_1(S^g), G) / G$

pour  $G = \text{PSL}(2, \mathbb{R}) \approx \text{Aut}^+(\mathbb{H}^2)$

Avantage: analogie avec le modèle de revêtement aléatoire

cas revêtement aléatoire:  $g$  fixé,  $G = \tilde{G}_N$ ,  $N \rightarrow \infty$   
cas Teichmüller:  $G = \text{PSL}(2, \mathbb{R})$  fixé,  $g \rightarrow \infty$ .

Attention:  $\text{Hom}(\pi_1(S^g), G)/G$  n'est pas connexe.  
 cf travaux de W. Goldman.

L'image de  $\tilde{\gamma}(S^g)$  est une des composantes connexes.

Idée de construction de l'injection:

$(R, f)$  surface de Riemann marquée (thm d'uniformisation)

$$\begin{array}{ccc} (\tilde{S}, \tilde{p}) & \xrightarrow{\tilde{f}} & \tilde{R} \\ \downarrow & & \downarrow \\ (S^g, p) & \xrightarrow{f} & R \end{array}$$

$\xrightarrow[u]{\sim}$  biholom.

$\pi_1(S)$  agit sur  $\tilde{S}$

$$\gamma \in \pi_1(S) \rightsquigarrow \rho(\gamma) \in \text{Aut}^+(\tilde{S})$$

$$\underbrace{u \tilde{f} \rho(\gamma) \tilde{f}^{-1} u^{-1}}_{P_{f,u}} \in \text{Aut}^+(\mathbb{H}) \cong \text{PSL}(2, \mathbb{R})$$

$$P_{f,u}$$

(les bitholo de  $H^2$  sont les transf. de Möbius

$$z \mapsto \frac{az+b}{cz+d} \text{ où } \begin{pmatrix} a & b \\ c & d \end{pmatrix} \in PSL(2, \mathbb{R})$$

①  $\rho_{\tilde{f}, u}$  dépend de  $f$  et de  $u$ . En recherche,

$[\rho_{\tilde{f}, u}] \in \text{Hom}(\pi_1(S), G) / G$  est bien défini et il défini.

Prop: L'application  $\tilde{T}(S^g) \rightarrow \text{Hom}(\pi_1(S^g), G) / G$

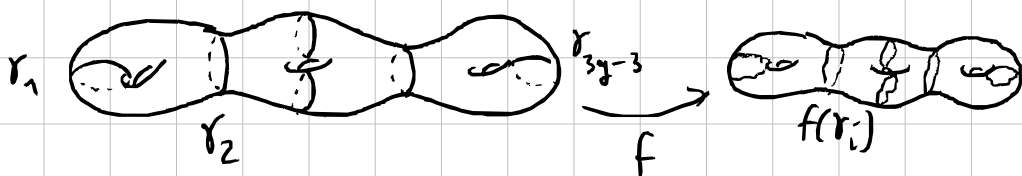
est bien définie et injective.

Rmq: L'image est l'ensemble des représentations fidèles et d'image discrète et cocompacte

(i.e. si  $\Gamma = \rho(\pi_1(S))$ ,  $\Gamma \backslash H^2$  compact).

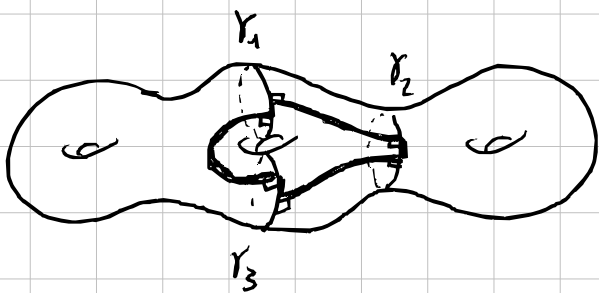
Coordonnées de Fenchel-Nielsen sur  $\tilde{T}(S^g)$

$S^g$  découpée en pantalons à l'aide de  $3g-3$  courbes



$l_i = \ell_R(f(\gamma_i))$  longueur dans  $R$  de l'unique  
 géodésique périodique homotope à  $f(\gamma_i)$   
 $=: \ell_X(\gamma_i)$  "longueur de  $\gamma_i$  dans la surface marginée  $X$ "

+ twists:

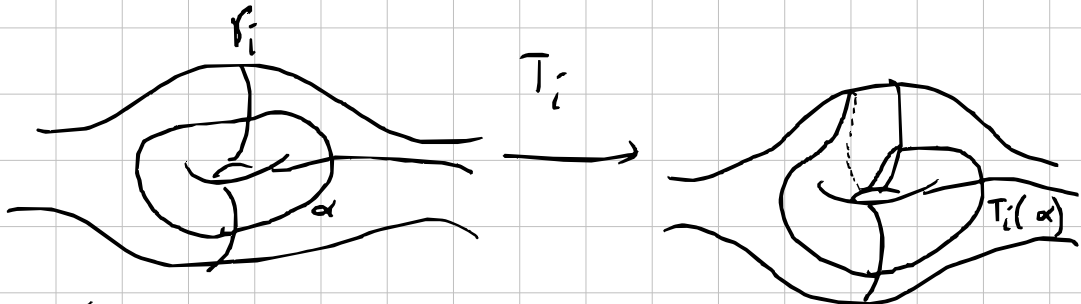


~> courbe en gras: permet de fixer  $\theta_i \in \mathbb{R}$  paramètres de twist le long de  $\gamma_i$

Coordonnées de Fenchel-Nielsen:  $(\underline{l}_i, \underline{\theta}_i)_{1 \leq i \leq 3g-3} \in \mathbb{R}^{3g-3}$

Nb: les  $\theta_i$  peuvent bien prendre toutes valeurs réelles, grâce aux twists de Dehn, des difféo's de  $S^1$  qui ne sont pas isotopes à l'identité.

exemple:



$(R, f \circ T_i)$  est un pt différ. de  $(R, f)$  dans  $\mathcal{V}(S)$   
(mais passe au quotient en le même point de  $M(S)$ )

Si  $(R, f)$  a pour coordonnées  $l_1, \dots, l_{3g-3}$   
 $\theta_1, \dots, \theta_{3g-3}$

Alors  $(R, f \circ T_i)$  a pour coord.  $l_1, \dots, l_{3g-3}$   
 $\theta_1, \dots, \theta_i, \dots, \theta_i + l_i, \theta_{i+1}, \dots, \theta_{3g-3}$

(le twist augmente/diminue de la longueur de la géodésique associée).

Thm:  $T(S^g) \cong \mathbb{R}_+^{3g-3} \times \mathbb{R}^{3g-3}$

Thm (Wolpert 85) La forme symplectique de Weil-Peterson s'exprime dans ces coordonnées comme

$$\omega_{WP} = \sum_{j=1}^{3g-3} d\ell_j \wedge d\theta_j.$$

→ Quel que soit le choix du décomposition en pantalons !

Mesure de Weil-Peterson :  $\underbrace{\prod_{i=1}^{3g-3} d\ell_i d\theta_i}_{\mu^{WP}}$ , de masse totale infinie sur  $\mathcal{T}(S^g)$ .

Thm (Wolpert 85) : la forme  $\omega_{WP}$  est invariante par l'action du  $MCG^+$  sur  $\mathcal{T}(S^g)$ , donc elle passe au quotient sur  $M(S^g)$ .

Thm: Sur l'espace quotient  $M(S^g)$ ,  $\mu^{WP}$  est finie.

Prop:  $\exists L_g > 0$  tq toute surface hyperbolique  $X$  admet une décomposition en pantalons t.q.  $\ell_X(r_i) \leq L_g \quad \forall 1 \leq i \leq 3g-3$ .

$L_g$  = constante de Bers.

Rmq:  $M(S^g)$  n'est pas compact, et l'action de  $\text{MCG}^+(S^g)$  sur  $\mathcal{T}(S^g)$  est propre (d'où  $M(S^g)$  est un espace séparé) mais pas libre (certaines surfaces hyperboliques ont des symétries).  
 →  $M(S^g)$  est un orbifold et pas une variété.

### 1° formule d'intégration de Mirzakhani

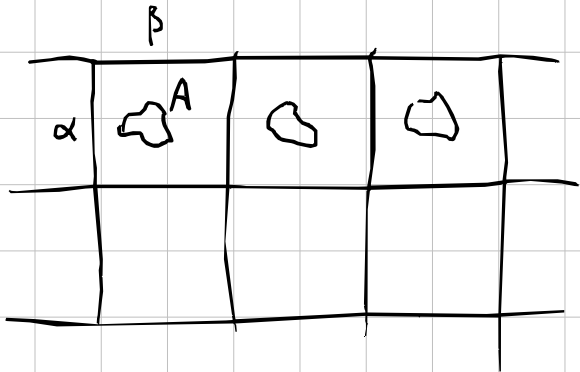
→ intégration sur un espace quotient

Cadre général:  $(T, \mu)$  espace mesuré,  $\Gamma$  groupe dénombrable qui agit sur  $T$  et qui préserve  $\mu$ .

Question: comment intégrer sur  $\Gamma \backslash T$ ? Ou comment intégrer des fonctions  $\Gamma$ -périodiques?

→ Mauvaise idée: vouloir prendre la mesure image par la projection  
 $p: T \rightarrow \Gamma \backslash T$

Exemple de base:  $T = \mathbb{R}^2$ ,  $\Gamma = \alpha \mathbb{Z} \oplus \beta \mathbb{Z}$ .



→ la préimage de A est une co-trace de copies de A, et pour intégrer on préfère intégrer sur une seule copie!

On suppose que le quotient se passe bien et qu'on dispose d'une fonction  $\chi_\Gamma \geq 0$  à décroissance rapide

$$\text{tq } \sum_{\gamma \in \Gamma} \chi_{\Gamma}(\gamma \cdot x) = 1 \quad \forall x \in T \quad (\ast)$$

$$\underline{\text{exemple: }} \chi_\Gamma(x, y) = \mathbb{1}_{[a, a+\alpha]}(x) \mathbb{1}_{[b, b+\beta]}(y)$$

Plus généralement pour à  $\chi_\Gamma = \mathbb{1}_D$  où  $D$  est un domaine fondamental de l'action de  $\Gamma$  sur  $T$ .

Lemme: si  $f: T \rightarrow \mathbb{R}_+$   $\Gamma$ -invariante, i.e.

$f(\gamma \cdot x) = f(x)$ , si on note  $f: \Gamma \backslash T \rightarrow \mathbb{R}_+$  son image par le quotient, on pose:

$$\int_{\Gamma \backslash T} f d\mu = \int_T f \chi_\Gamma d\mu$$

et cette définition ne dépend pas de  $\chi_\Gamma$ , à partir du moment où elle vérifie (\*).

Première: sont  $\chi_\Gamma, \chi'_\Gamma$  qui vérifient (\*).

$$\int_T f(x) \chi_\Gamma(x) \underbrace{\sum_{\gamma \in \Gamma} \chi'_\Gamma(\gamma \cdot x)}_{=1} d\mu(x)$$

$$= \sum_{\gamma \in \Gamma} \int_T f(x) \chi_\Gamma(x) \chi'_\Gamma(\gamma \cdot x) d\mu(x) \quad \downarrow \text{ch. ns}$$

$$= \sum_{\gamma \in \Gamma} \int_T f(\gamma^{-1}x) \chi_\Gamma(\gamma^{-1}x) \chi'_\Gamma(x) d\mu(x)$$

$$= \int_T f(x) \underbrace{\sum_{\gamma} \chi_\Gamma(\gamma^{-1}x) \chi'_\Gamma(x)}_{=1} d\mu(x) = \int_T f(x) \chi'_\Gamma(x) d\mu(x) \quad \square$$

Lemme: Soit  $F: T \rightarrow \mathbb{R}_+$ . On la périodise en posant  $F_T(x) = \sum_{\gamma \in \Gamma} F(\gamma \cdot x)$ .

$$\int_{\mathbb{T} \setminus T} F_T d\mu = \int_T F d\mu.$$

Exemple:  $F(x_1, x_2)$  à décroissance rapide sur  $\mathbb{R}^2$ .

$$F_T(x_1, x_2) = \sum_{(n, m) \in \mathbb{Z}^2} F(x_1 + \alpha n, x_2 + \beta m)$$

$$\int_{\mathbb{R} \setminus R^2} F_T dx_1 dx_2 = \int_{R^2} F dx_1 dx_2.$$